

# ТЕРМОЦИКЛОЧУВСТВИТЕЛЬНЫЙ ФАЗОВЫЙ ПЕРЕХОД В КРИСТАЛЛАХ $TlGaSe_2$

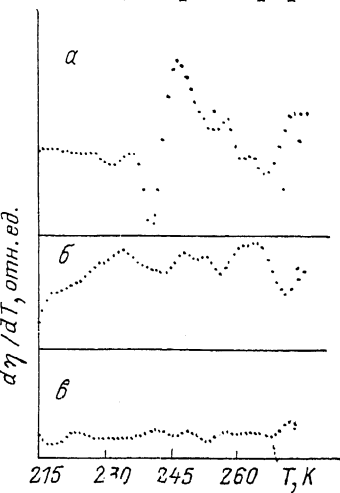
Ю. П. Гололобов, С. А. Шило, И. А. Юрченко

В работах, посвященных изучению физических свойств таллий-галлиевого диселенида  $TlGaSe_2$  — одного из типичных представителей слоистых кристаллов, имеются весьма противоречивые данные не только о характере, но и о самом наличии фазового перехода (ФП) при  $T=250$  К [1–4]. Однако проведенные недавно методом молекулярных люминесцентных меток измерения однозначно свидетельствуют о наличии в нем вблизи указанной температуры объемного ФП [5], что подтверждается и результатами рентгеноструктурных исследований [6]. В то же время нами было обнаружено, что неоднократное термоциклизование в области  $T=200\text{--}273$  К приводило к заметному изменению вида зарегистрированных вблизи 250 К аномалий оптических свойств  $TlGaSe_2$  [5].

В связи с этим было решено более детально изучить влияние на указанный ПФ периодически изменяющейся температуры, для чего образцы подвергались термоциклированию от комнатной температуры до  $T_{min}$ , которая для различных серий измерений варьировалась от 77 до 20 К.

Рис. 1. Температурные зависимости  $d\eta/dT$  в относительных единицах для различных термоциклов.

Первый цикл с  $T_{min}=20$  К: охлаждение (a), нагрев (б). Для второго цикла представлена кривая, полученная в режиме охлаждения (в).



При этом в интервале  $T=200\text{--}273$  К помимо величины квантового выхода  $\eta$  люминесценции молекул органического красителя эритрозина, адсорбированных на плоскости спайности кристаллов  $TlGaSe_2$  (как это делалось ранее в [5]), исследовались также температурные зависимости  $z$ -компоненты диэлектрической проницаемости  $\epsilon$  самого адсорбента (направление  $z$  совпадает с псевдотетрагональной осью симметрии). Методики измерений детально описаны в [7, 8]. Относительные погрешности измерений  $\Delta\epsilon$  и  $\eta$  не превышали 0.01 и 3 % соответственно.

На рис. 1 представлены температурные зависимости величины  $d\eta/dT$ , полученные для одного из исследовавшихся образцов. Как видно, при первоначальном охлаждении на кривой отчетливо проявляются два максимума в области  $T_1=257$  и  $T_2=247$  К (рис. 1, a), что свидетельствует о существовании при этих температурах структурных ФП [5]. Наличие незначительного максимума при более высокой температуре скорее всего является проявлением влияния поверхности [7]. Однако после однократного охлаждения до  $T_{min}=20$  К для всех последующих непрерывных термоциклов обнаруженные аномалии не воспроизводились ни при охлаждении, ни при нагреве (рис. 1, б, в), т. е. эффект не связан с аномальным температурным гистерезисом [9]. Вместе с тем долговременная (в течение 7 дней) выдержка образца в темноте при комнатной температуре приводила к восстановлению его исходных свойств. Подобный эффект обнаружен и при изучении диэлектрической проницаемости  $\epsilon$   $TlGaSe_2$ , хотя при охлаждении до  $T_{min}=77$  К в этом случае проявляются свои особенности.

На рис. 2 представлены зависимости  $\Delta\epsilon_z(T)$  для различных термоциклов образца, который вначале находился в состоянии «asgrcun». Как видно, для первого цикла охлаждение—нагрев на зависимости  $\Delta\epsilon_z(T)$  отчетливо проявляются две аномалии: излом при  $T_1=252$  К и пикообразная аномалия при  $T_2=247$  К, что хорошо согласуется с температурным положением ФП. При повторном измерении излом исчезает, а на месте пика  $\epsilon$  обнаруживается незначительный максимум, при этом для обоих циклов в исследованной области температур  $d\epsilon/dT > 0$ . Существенное изменение характера  $\epsilon_z(T)$  происходит для третьего термоцикла в интервале 200—273 К,  $\epsilon$  практически не меняется с температурой, причем поведение  $\epsilon_z(T)$  сохраняется и при последующих измерениях, т. е. после двух термоциклов с  $T_{\min}=77$  К признаков ФП вблизи  $T=250$  К обнаружить не удается.

Если придерживаться точки зрения авторов [2], согласно которой ФП при  $T \sim 250$  К является переходом в несоразмерную фазу (НФ), то обнаруженный эффект можно объяснить образованием в  $\text{TiGaSe}_2$  при

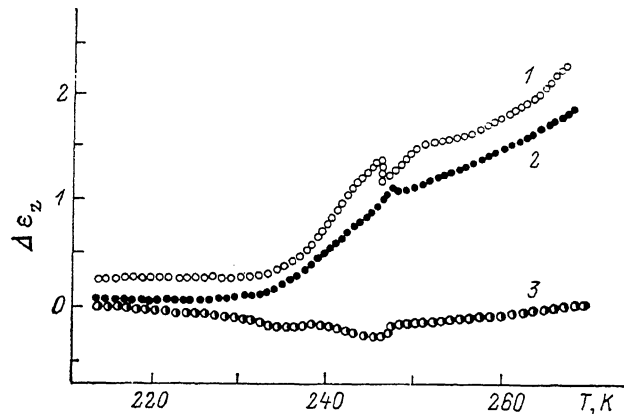


Рис. 2. Температурные зависимости изменения  $z$ -компоненты диэлектрической проницаемости  $\Delta\epsilon_z(T)$   $\text{TiGaSe}_2$  для различных непрерывных термоциклов с  $T_{\min}=77$  К в режиме нагрева: первый цикл (1), второй (2), третий (3).

глубоком термоциклировании медленно релаксирующей разупорядоченной структуры. Ее появление, по-видимому, вызвано тем, что при  $T_c=-123$  К в  $\text{TiGaSe}_2$  происходит четвертичие элементарной ячейки и возникает спонтанная поляризация, а переход из НФ в сегнетофазу происходит с образованием вблизи  $T$  промежуточной хаотической фазы [9]. Отметим, что в  $\text{TiGaSe}_2$  наличие фрагментов такой фазы, для которой характерен одномерный беспорядок вдоль оси  $c$ , было ранее экспериментально зарегистрировано как при температурах ниже точки Кюри [10], так и при комнатной температуре [11].

Исходя из образования такого метастабильного разупорядоченного состояния, можно объяснить и зарегистрированные особенности в поведении  $\epsilon_z(T)$ . Как известно, для линейных диэлектриков, к которым при  $T > 123$  К принадлежат  $\text{TiGaSe}_2$  [12], изменение энтропии при поляризации  $\Delta S=(1/2)\epsilon_0 E^2 d\epsilon/dT$ . Так как для первых двух термоциклов  $d\epsilon/dT > 0$ , то и  $\Delta S$  в этом случае больше нуля, т. е. для  $\text{TiGaSe}_2$  в электрическом поле имеют место физические процессы, понижающие степень упорядочения молекулярной структуры. Для третьего и последующих циклов  $d\epsilon/dT \approx 0$ , следовательно, такие процессы уже не происходят, что может быть вызвано остаточным термоциклическим разупорядочением, приводящим также к сглаживанию аномалий, связанных с образованием НФ. По всей видимости, в  $\text{TiGaSe}_2$  имеют место эффекты, подобные обнаруженным недавно в тетраборите лития ( $\text{Li}_2\text{B}_4\text{O}_7$ ) [13], однако в нашем случае термоциклизование приводит не к появлению НФ, а, напротив, к ее трансформации в хаотическую структуру.

Итак, результаты данной работы свидетельствуют о том, что термоЭЦКлирование с  $T_{\min} = 77$  К или даже однократное охлаждение до 20 К генерирует в TiGaSe<sub>2</sub> долгоживущие метастабильные состояния, наличие которых приводит, в частности, к «стиранию» ФП при  $T \sim 250$  К. Природа таких состояний, по-видимому, связана с разупорядочением структуры, главным образом с нарушением периодичности упаковки слоевых пакетов вдоль оси  $c$ .

### Список литературы

- [1] Алиев Р. А., Аллахвердиев К. Р., Баранов А. И. и др. // ФТТ. 1984. Т. 26. № 5. С. 1271—1276.
- [2] Allakhverdiev K. R., Aldganov M. A., Mamedov T. G., Salaev E. Yu. // Sol. State Comm. 1986. V. 58. P. 295—297.
- [3] Волков А. А., Гончаров Ю. Г., Козлов Г. В., Сардарлы Р. М. // Письма в ЖЭТФ. 1984. Т. 39. № 7. С. 293—295.
- [4] Мамедов Н. Т., Крупников Е. С., Панич А. М. // ФТТ. 1989. Т. 39. № 1. С. 290—292.
- [5] Гололобов Ю. П., Шило С. А., Юрченко И. А. // УФЖ. 1990. Т. 35. № 11. С. 1721—1724.
- [6] Алиев В. А. // Кристаллография. 1990. Т. 35. № 2. С. 506—507.
- [7] Bortchagovski E. G., Lozovski V. Z., Shilo S. A., Yurchenko I. A. // Physica (C). Superconductivity. 1990. V. 165. P. 308—314.
- [8] Беляев А. Д., Байса Д. Ф., Бондарь А. В. и др. // УФЖ. 1975. Т. 20. № 10. С. 1744—1746.
- [9] Струков Б. А. // Изв. АН СССР, сер. физ. 1987. Т. 51. № 10. С. 1717—1725.
- [10] Крупников Е. С., Алиев Ф. Ю., Мамедов Н. Т. // Изв. АН СССР, неорг. матер. 1989. Т. 25. № 11. С. 1866—1868.
- [11] Волков А. А., Гончаров Ю. Г., Козлов Г. В. и др. // ФТТ. 1988. Т. 30. № 12. С. 3621—3628.
- [12] Абиров А. К., Бахышов Н. А., Бахышов А. Э., Гаджиев М. С. // Изв. вузов, сер. физ. 1989. № 12. С. 84—86.
- [13] Жигадло Н. Д., Зарецкий В. В. // Письма в ЖЭТФ. 1989. Т. 49. № 9. С. 498—500.

Институт полупроводников АН Украины  
Киев

Поступило в Редакцию  
18 декабря 1990 г.  
В окончательной редакции  
17 апреля 1991 г.

УДК 539.2

© Физика твердого тела, том 33, № 9, 1991  
Solid State Physics, vol. 33, N 9, 1991

## ВЫЗВАННЫЕ ВОДОРОДОМ СВОБОДНЫЕ СОСТОЯНИЯ В ЗОНЕ ПРОВОДИМОСТИ PdH: АНАЛИЗ РЕНТГЕНОВСКОГО ПОГЛОЩЕНИЯ

A. B. Солдатов, T. C. Иванченко, A. Бианкони

Электронная структура гидридов металлов, в частности палладия, интенсивно изучается последнее десятилетие [1]. На основании многочисленных зонных расчетов (например, [2]) и данных рентгеновской фотозеиссии [3] были исследованы особенности формирования валентной зоны системы PdH<sub>x</sub>. Оказалось, что при проникновении водорода в металлический палладий в области около 5 эВ ниже уровня Ферми появляются гибридизованные связывающие Pd—H состояния.

В то же время свободные состояния в зоне проводимости изучены значительно слабее. В оптических спектрах [4] была обнаружена особенность в районе  $\sim 4$  эВ выше уровня Ферми. Однако до появления метода анализа ближней тонкой структуры рентгеновского поглощения (БТСРП, международный термин XANES) [5] не существовало удобного